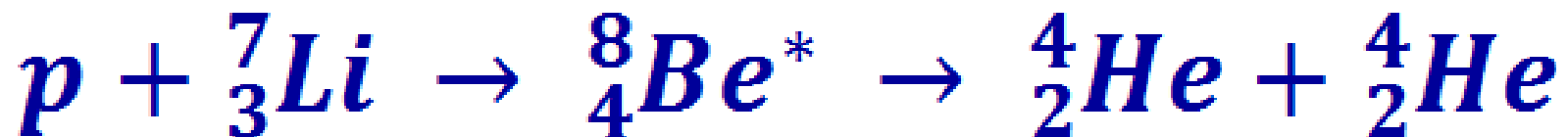




Два явления, связанные с  ${}^8\text{Be}$ :

**УРОВЕНЬ ХОЙЛА** в  ${}^{12}\text{C}$  и  ${}^8\text{Be}$  аномалия

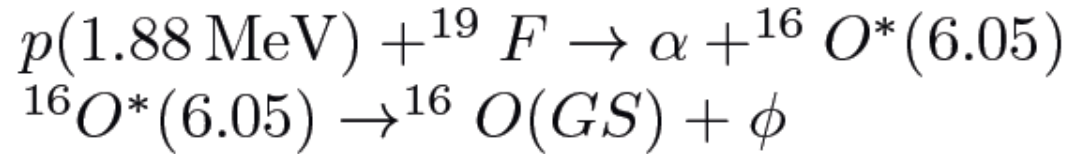


**АТОМКИ эксперимент А. Krasznahorkay et. al.**

(ниже приводятся и обсуждаются результаты АТОМКИ)

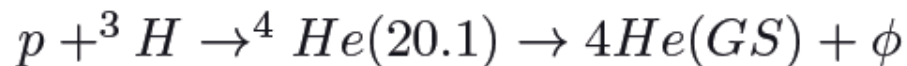
**Поиск проявления массивной частицы в ядерных переходах . Идея Вильчека и др. в 70-х.**

# Примеры поиска скаляра в ядерных переходах



Kohler et al PRL 33, 1628 (1974)

Freedman et al. PRL 52, 240 (1984)



Только ограничения на массу и константу связи. В ядерных переходах искали и аксионы. Работ много, например, **в ПИЯФ**

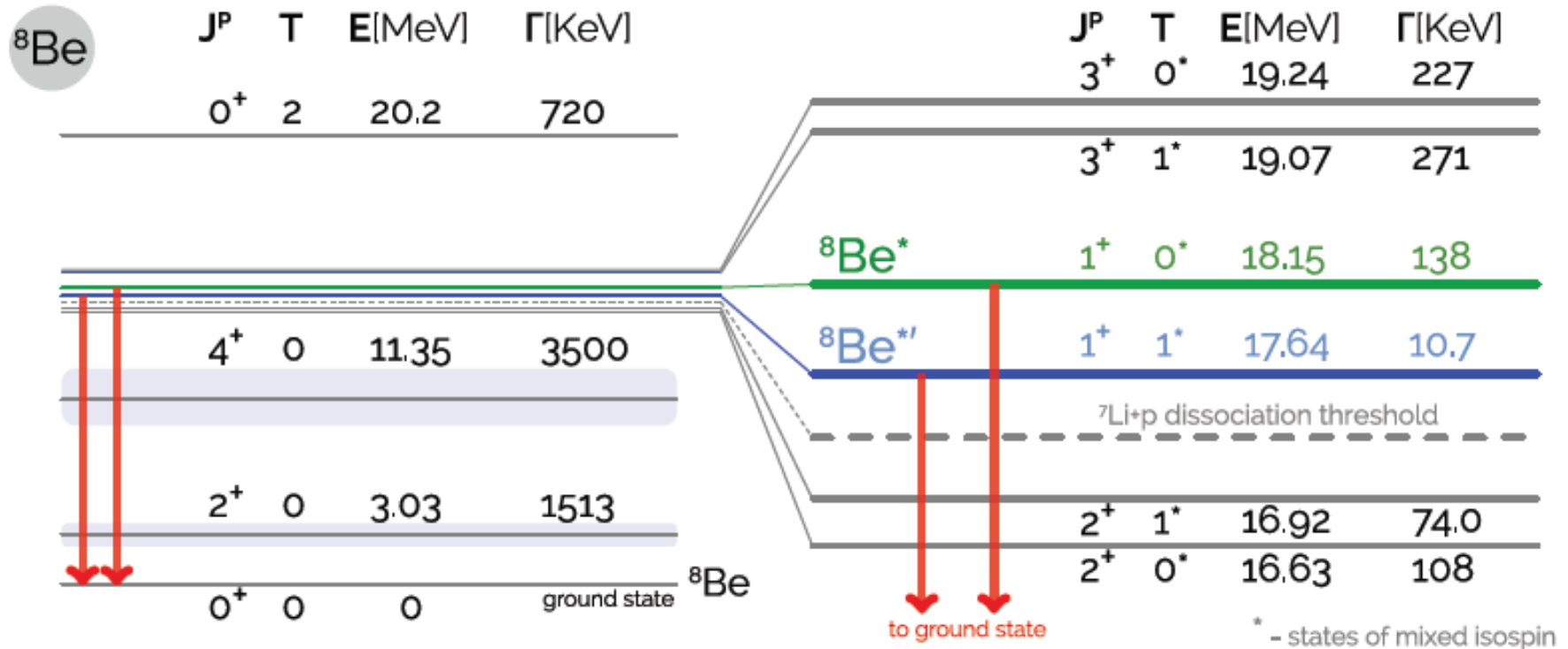
## [Search for axions emitted in nuclear magnetic transitions](#)

[A.V. Derbin](#), [A.I. Egorov](#), [I.A. Mitropolsky](#), [V.N. Muratova](#), [S.V. Bakhlanov](#), [L.M. Tuhkonen](#) ([St. Petersburg, INP](#)). 2002. 5 pp.

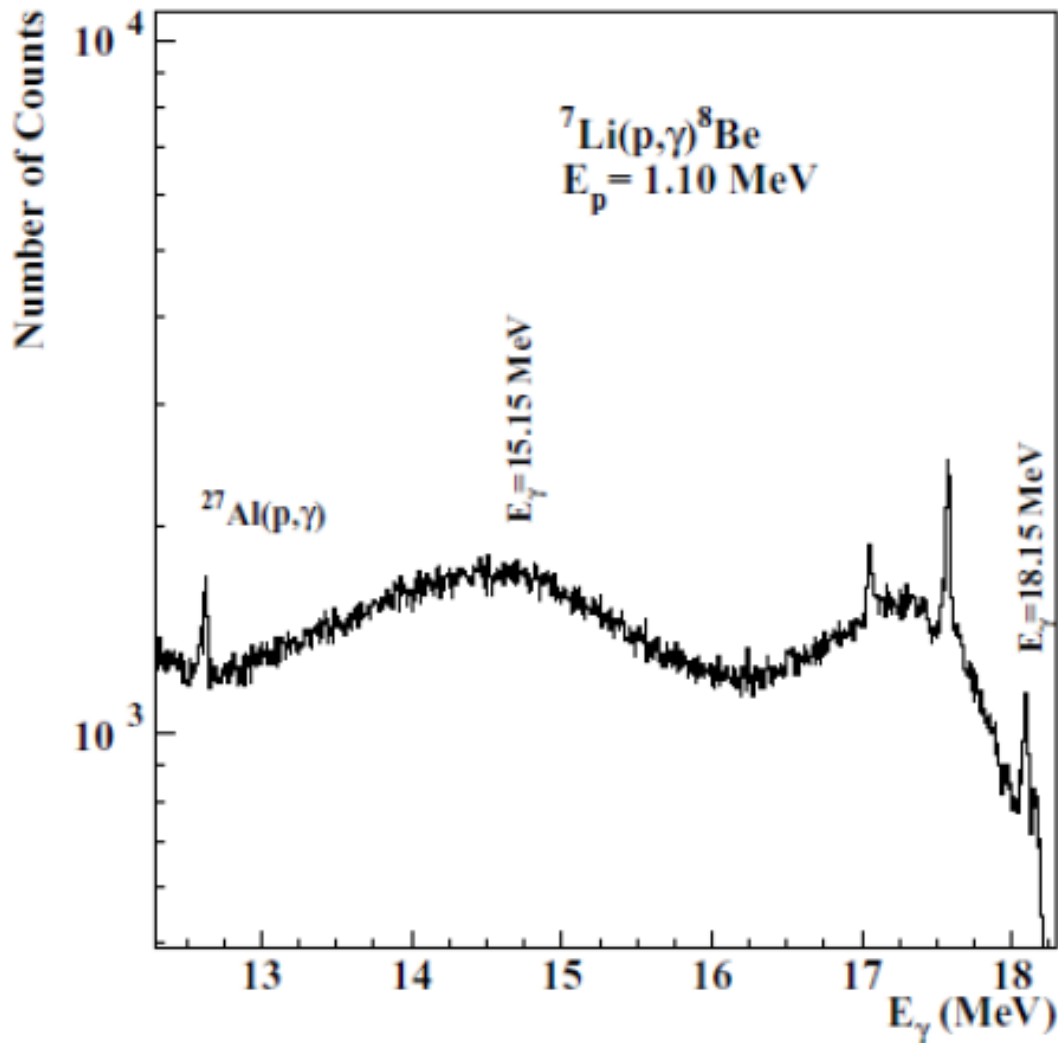
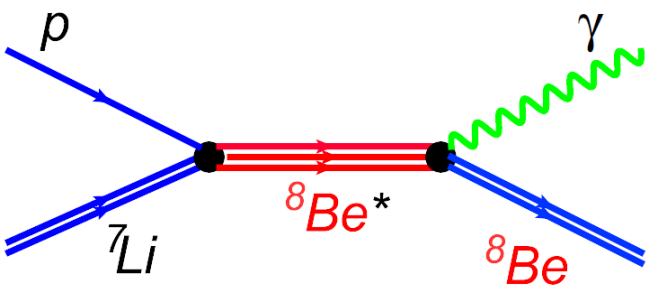
Published in **Phys.Atom.Nucl. 65 (2002) 1302-1306**, **Yad.Fiz. 65 (2002) 1335-1339**



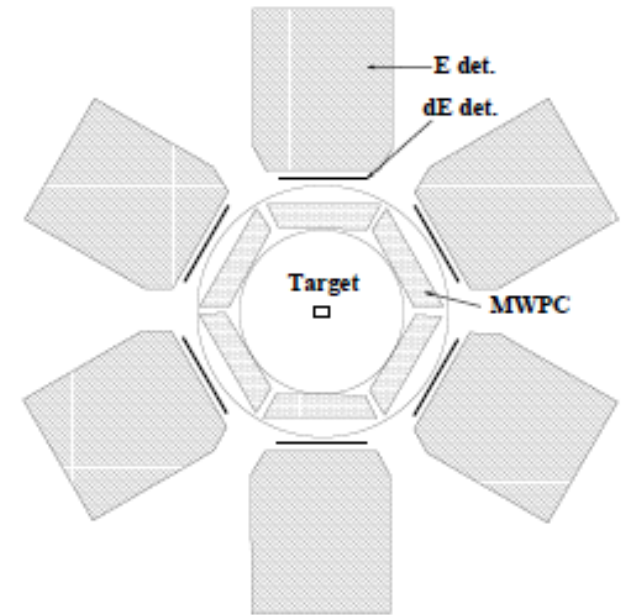
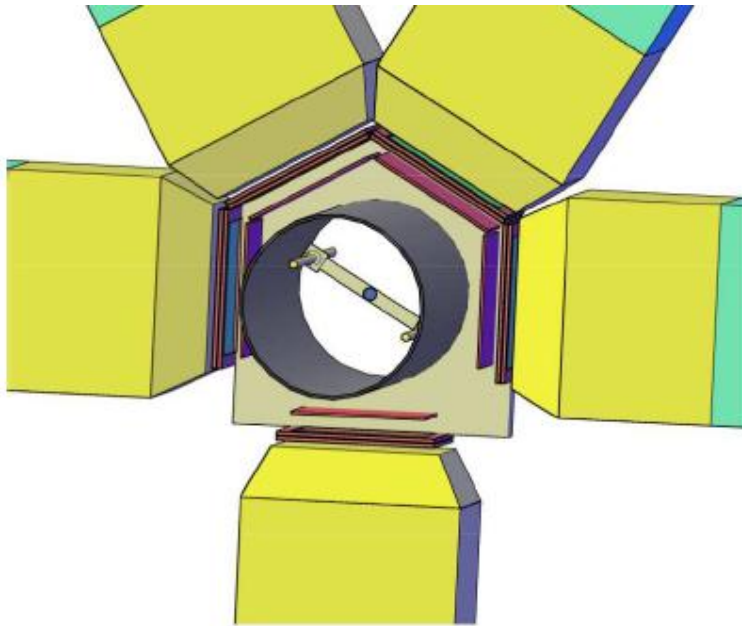
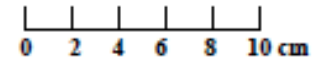
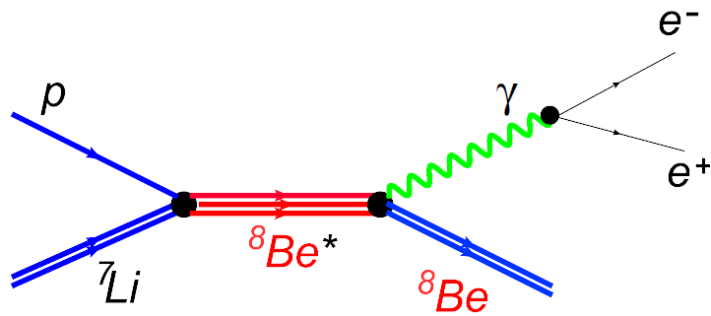
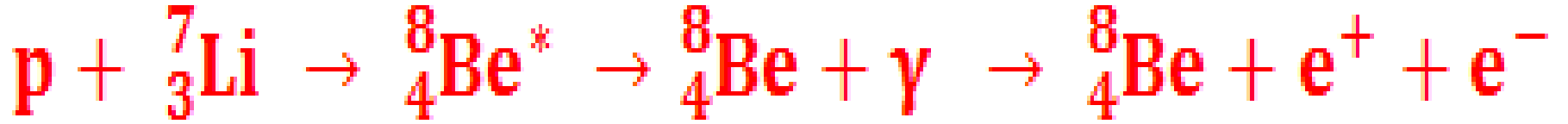
MACCA Li-7 : 6533.83 MeV



State	$m$ (MeV)	$\Delta E$ (MeV)	$\Gamma$ (keV)	$\Gamma_\gamma$ (eV)	$J_T^P$
${}^8\text{Be}$	7454.85	0	—	—	$0_0^+$
${}^8\text{Be}^*$	7473.00	18.15	138	1.9	$1_0^+$
${}^8\text{Be}^{*'}$	7472.49	17.64	10.7	15	$1_1^+$

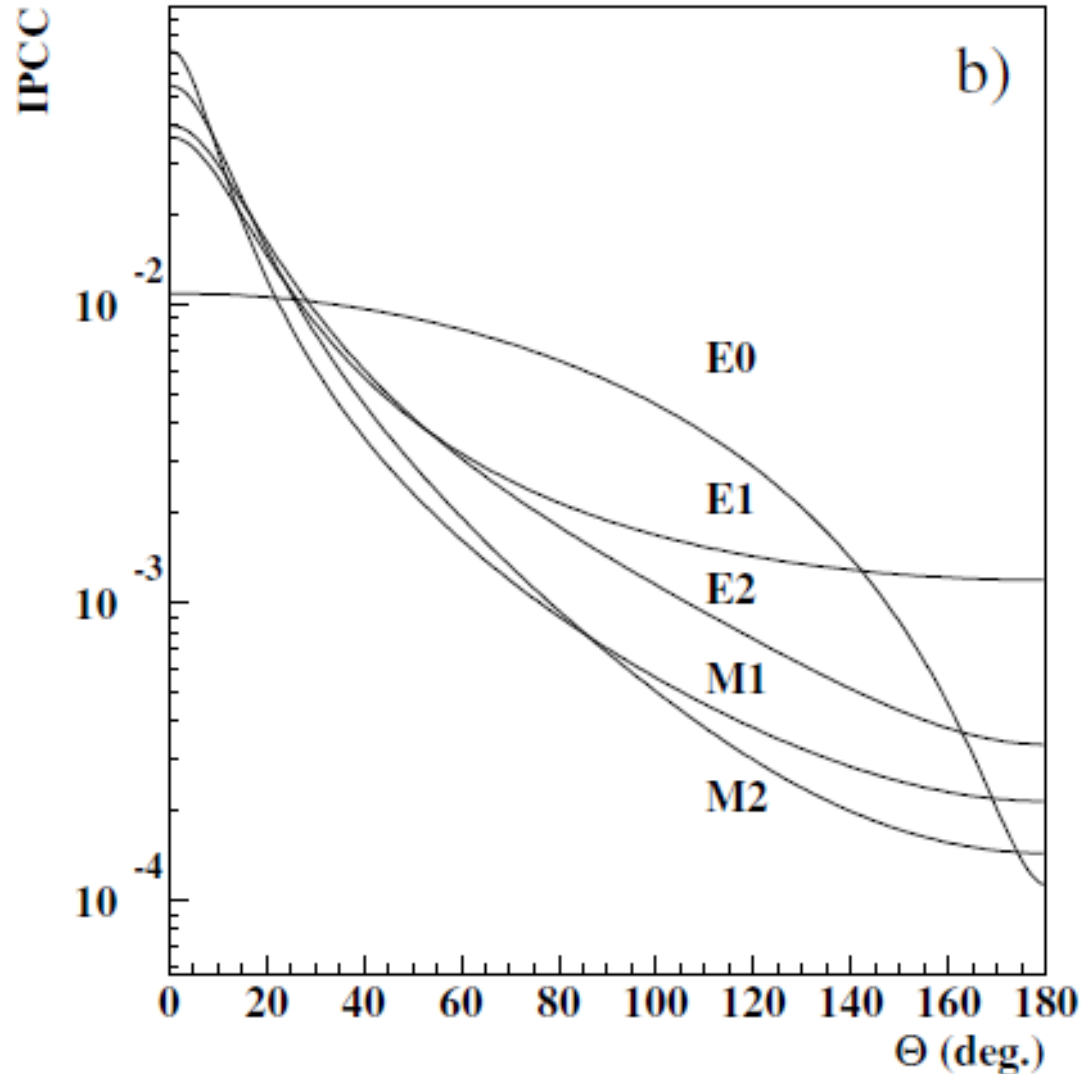


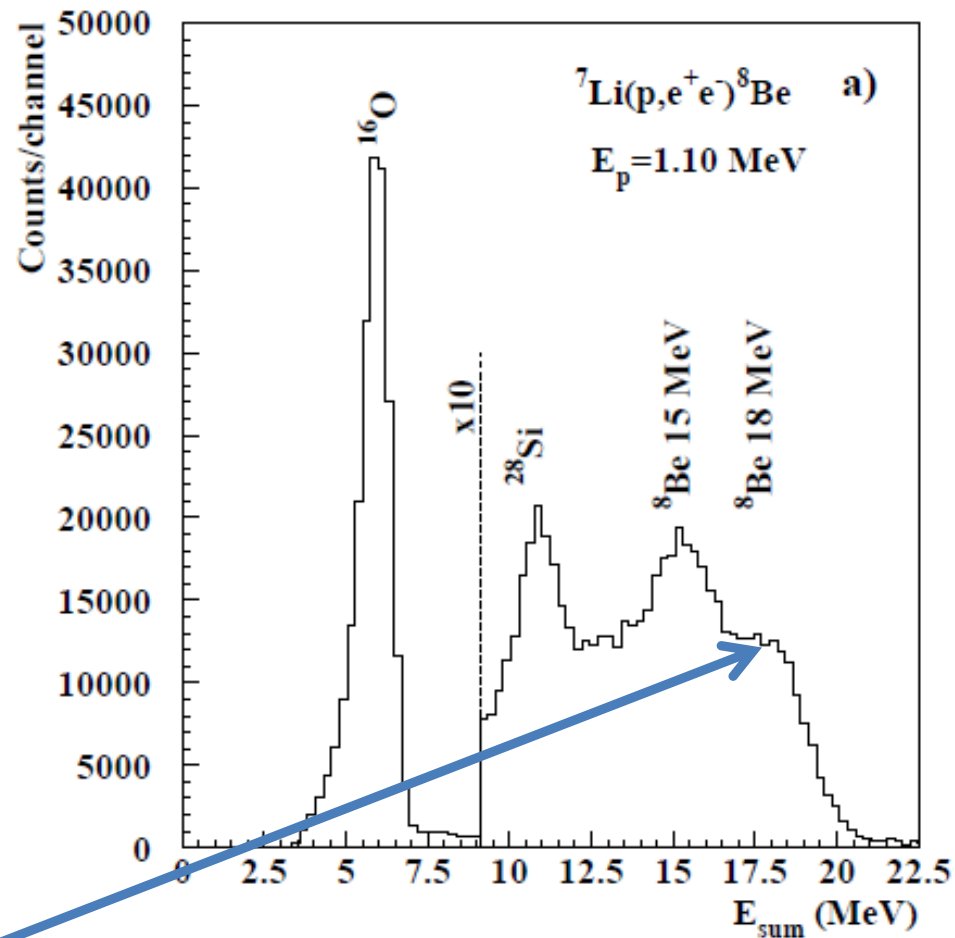
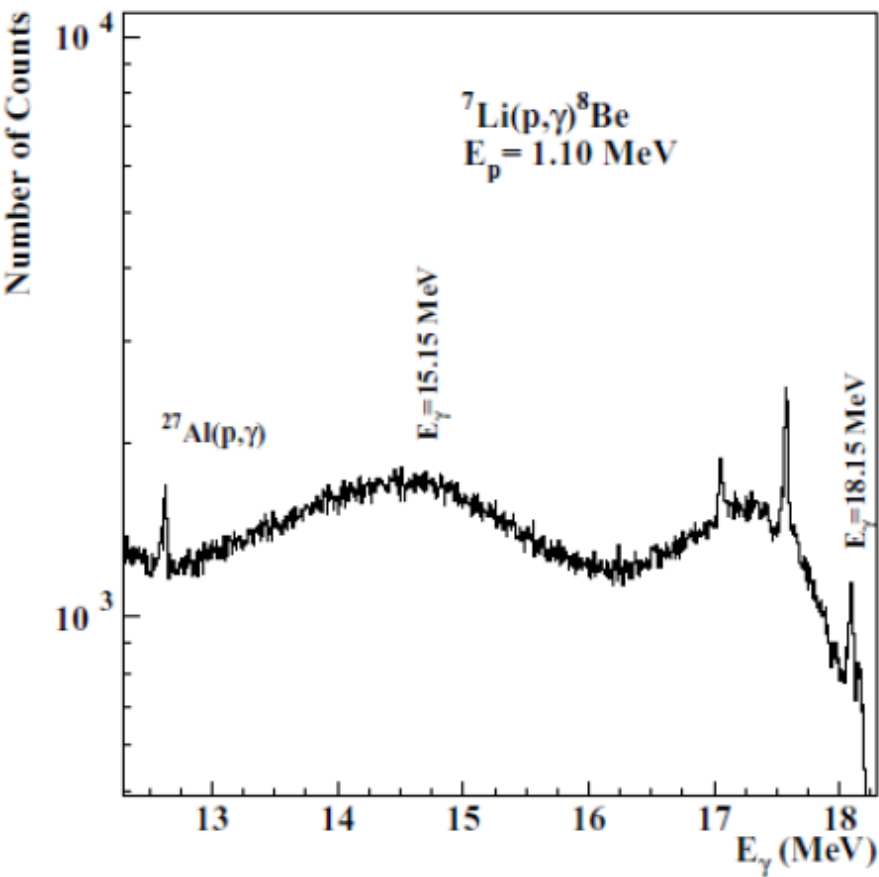
$$Br\left({}^8_4\text{Be}^* \rightarrow {}^8_4\text{Be} + \gamma\right) \approx 1.5 \cdot 10^{-5}$$



the  $e^+e^-$  spectrometer with five DSSD+ $\Delta E$  – E detector telescopes. The target is evaporated onto 10  $\mu\text{m}$  Al strip foil spanned between 3 mm thick perspex rods to minimize the scattering and external pair creation in the vicinity of the target. The beam pipe is shown in black around which the  $\Delta E$  and the DSSD detectors are arranged. The 1 mm thick  $\Delta E$  detectors are shown in violet and red, while the E scintillators in yellow and their light guides are in blue.

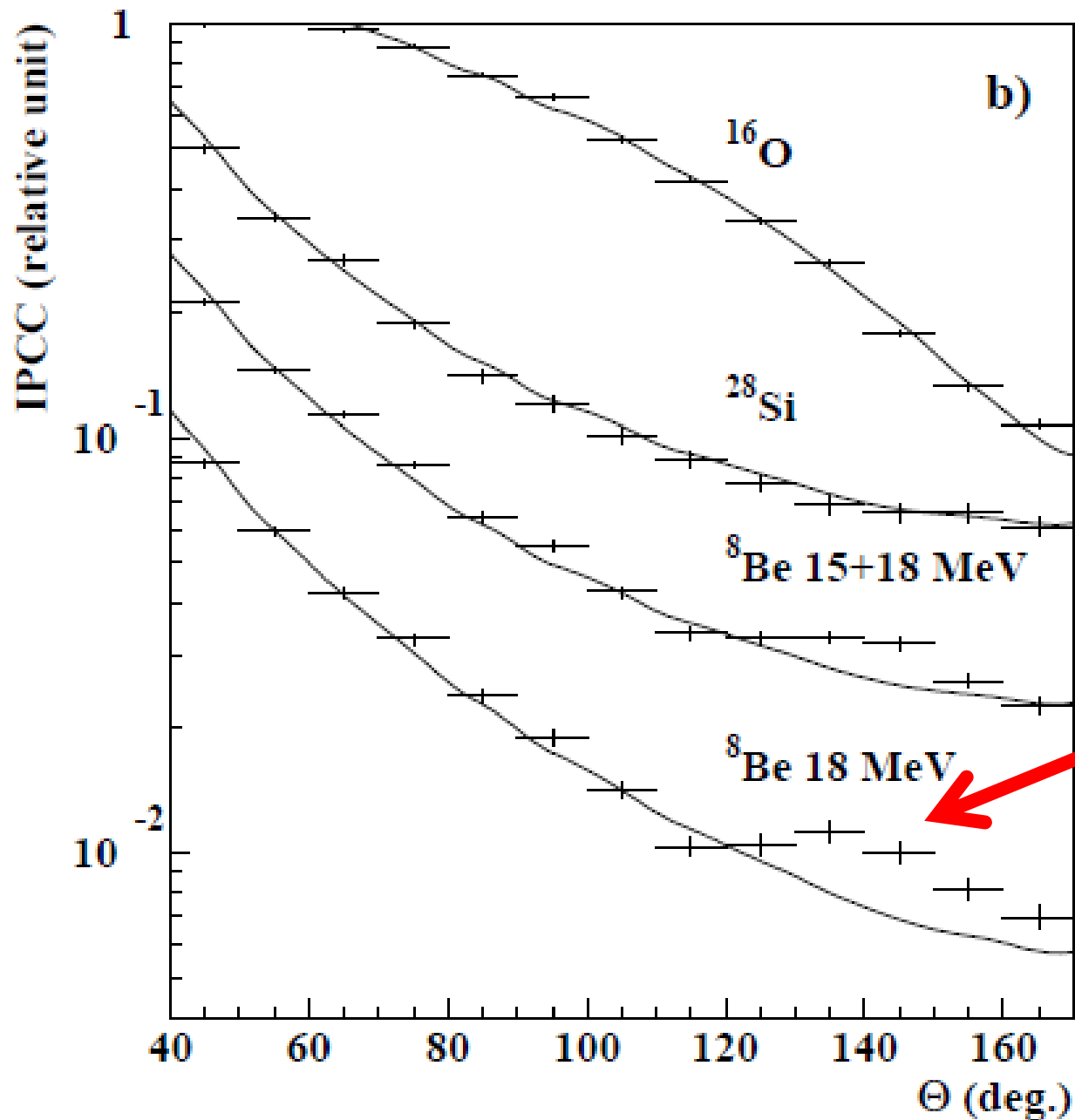
Распределение по углу между электроном и позитроном  $\theta$  полезно для определения мультипольности ядерного перехода при изучении парной внутренней конверсии



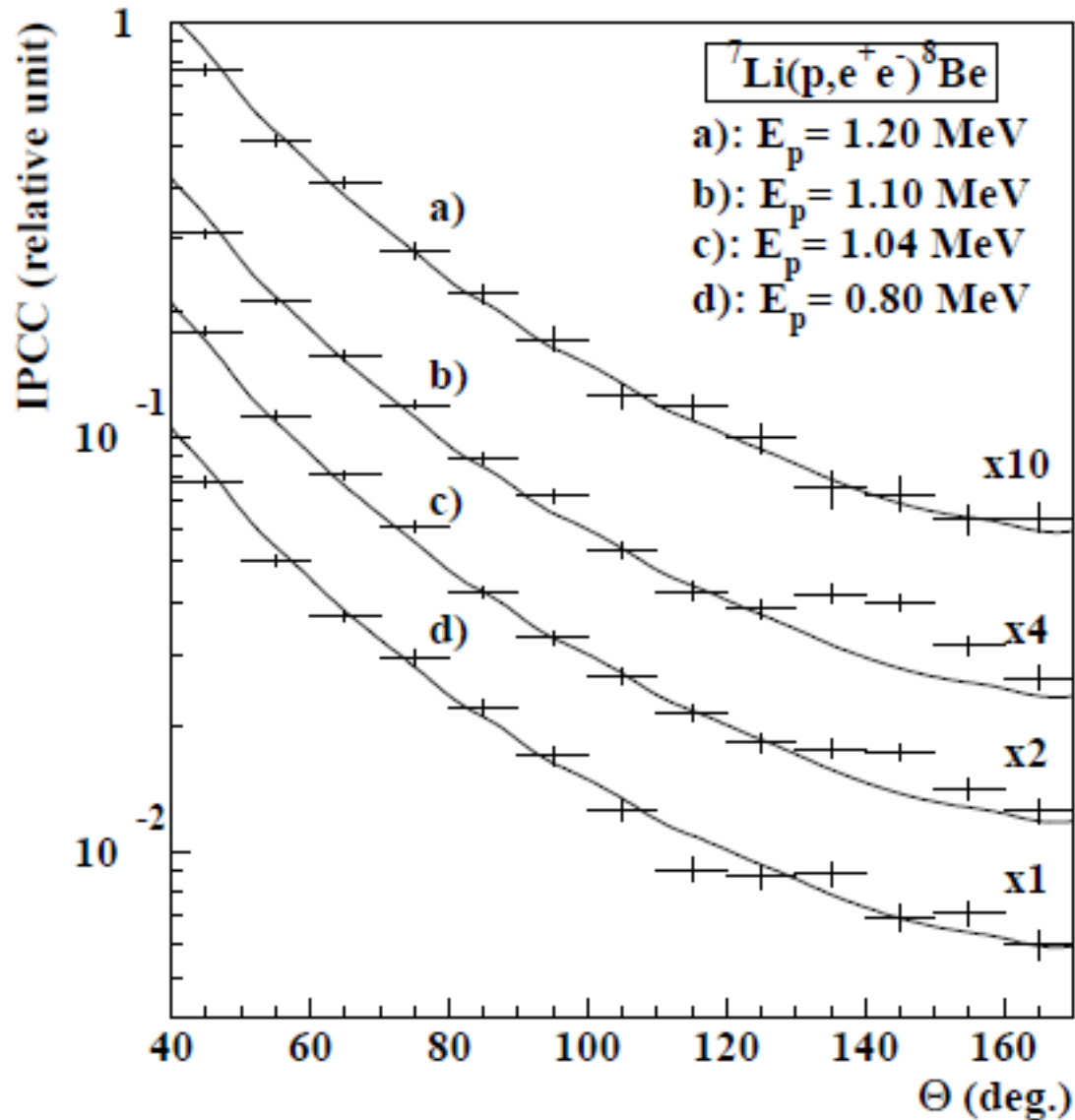


$$Br \left( {}^8_4\text{Be}^* \rightarrow {}^8_4\text{Be} + \gamma \rightarrow e^+ e^- \right) \approx 5.5 \cdot 10^{-8}$$





Отклонение от  
стандартного  
распределения



**Сканирование по энергии налетающих протонов и по переменной  $y$   $|y| < 0.5$  и  $|y| > 0.5$**

$$y = \frac{T^+ - T^-}{T^+ + T^-}$$

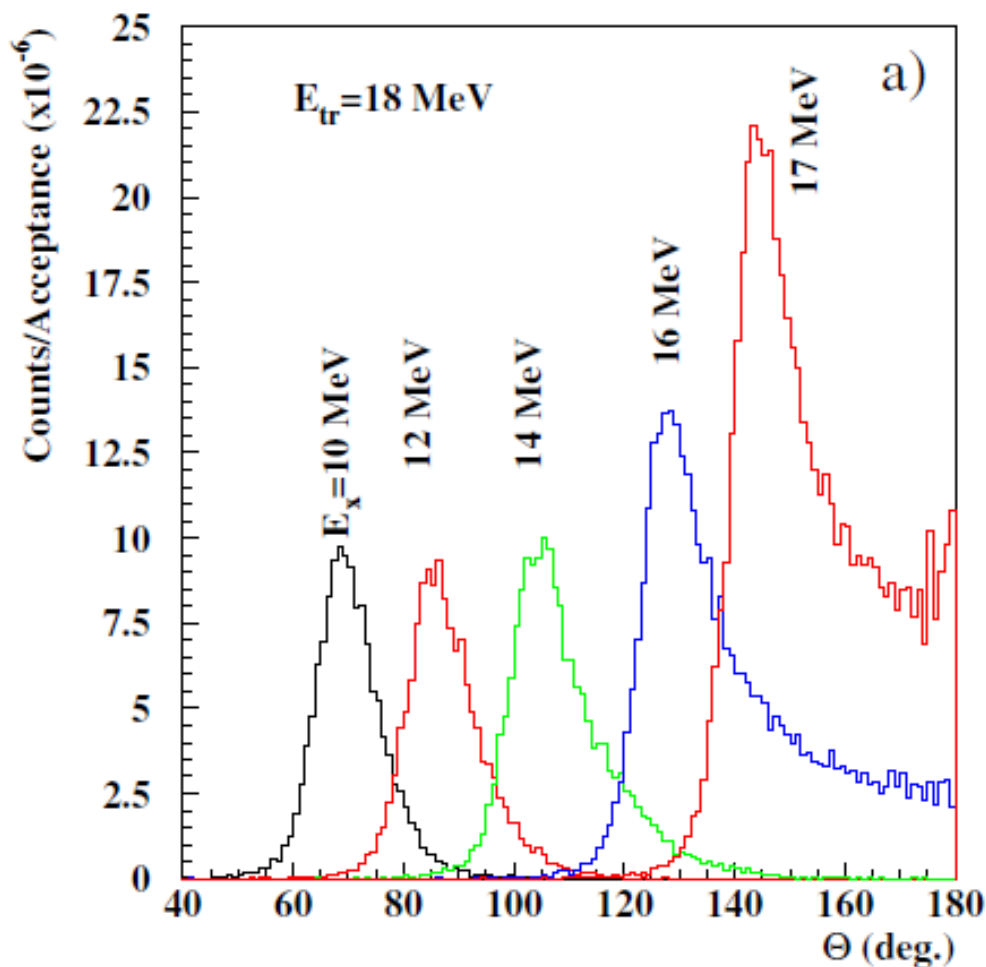
$T$  – Кин. Энергии электрона и позитрона

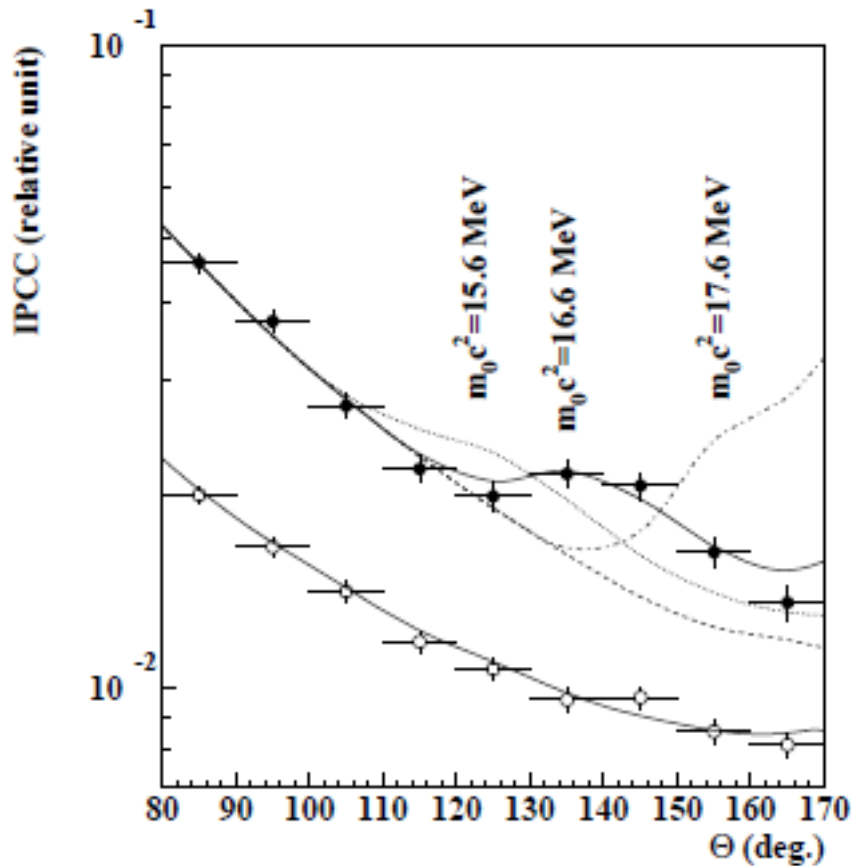
Отклонение наблюдается при энергии протонов, необходимой для резонансного возбуждения уровня, и при близости энергий электронов и позитронов  $|y| < 0.5$

Переход между уровнями ядра с испусканием массивной частицы, распадающейся на два лептона. Масса

$$m_{ee}^2 \approx (1 - y^2) E^2 \sin^2 \frac{\theta}{2}$$

$$E = T^+ + T^- + 2m_e$$





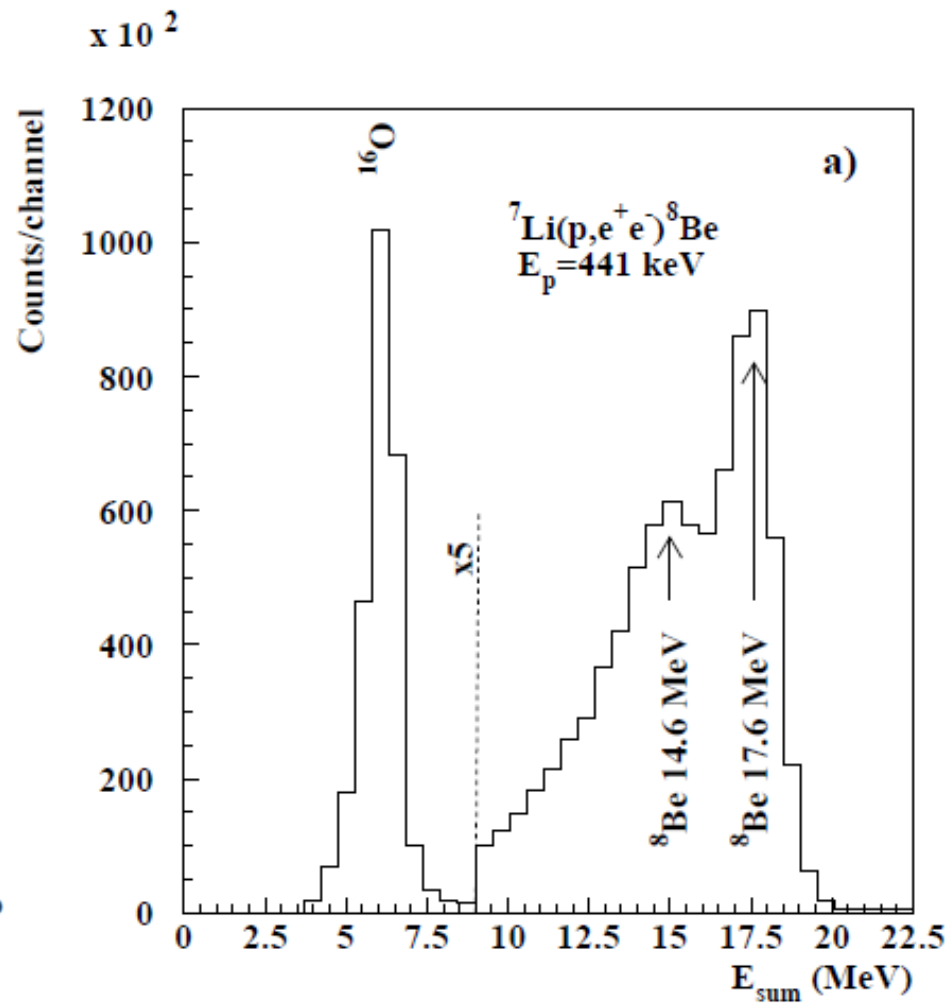
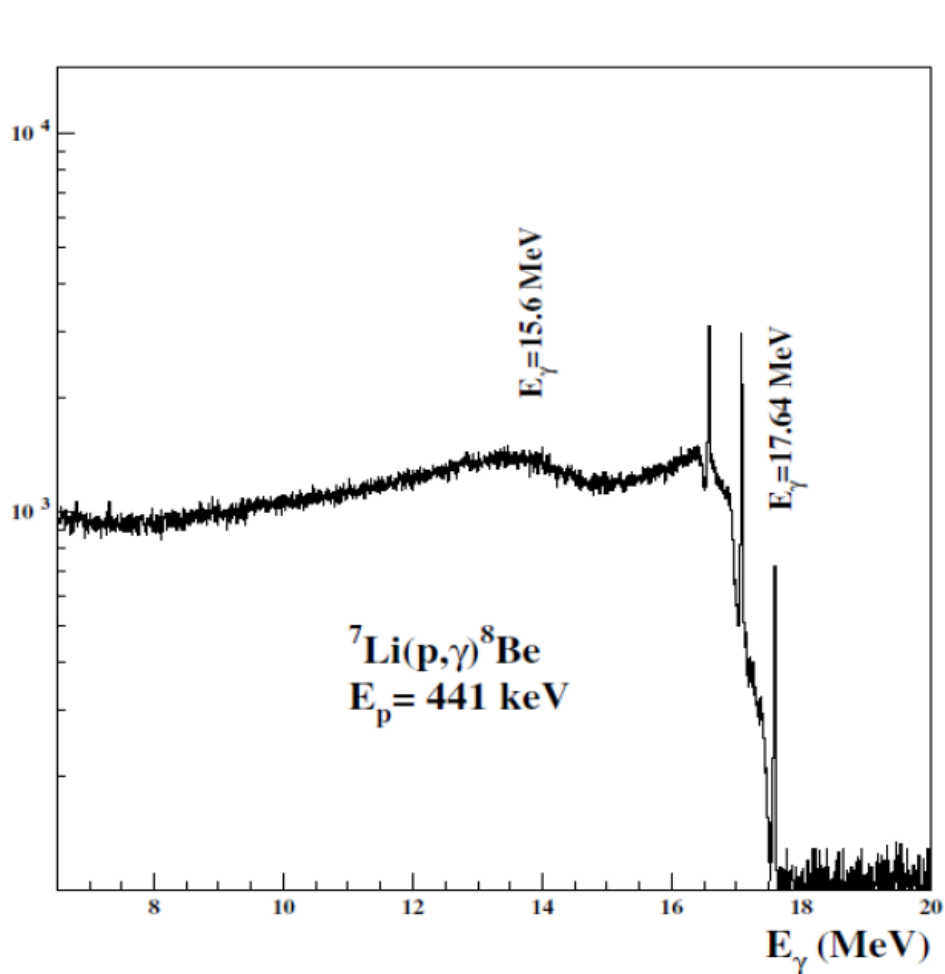
Эффект  
превышения  $6.8\sigma$

Подгонка данных:  
 $\chi^2=1.07$

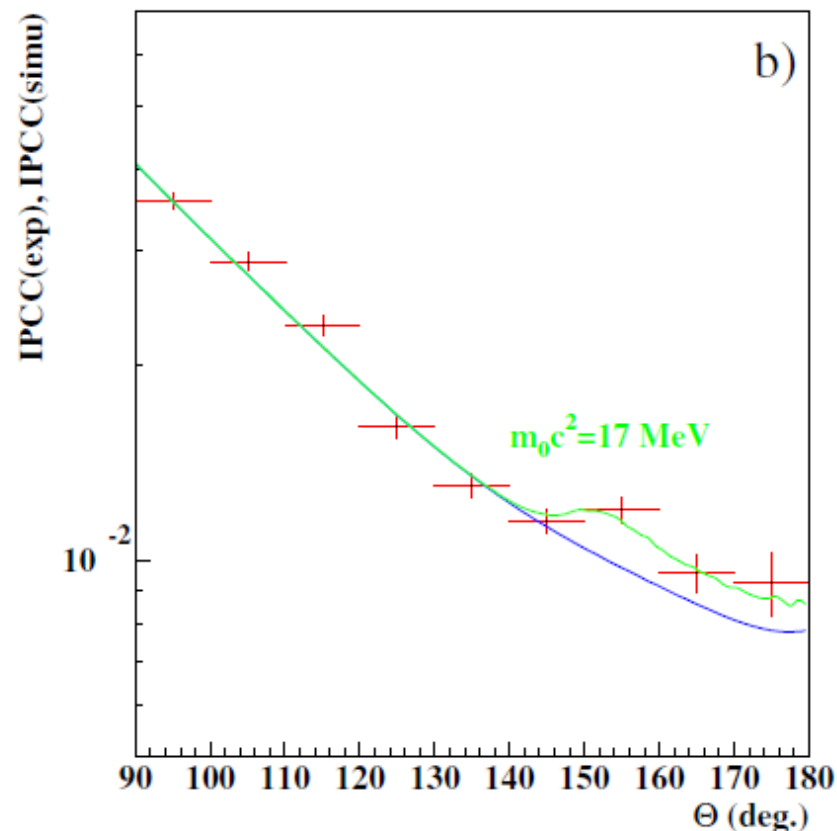
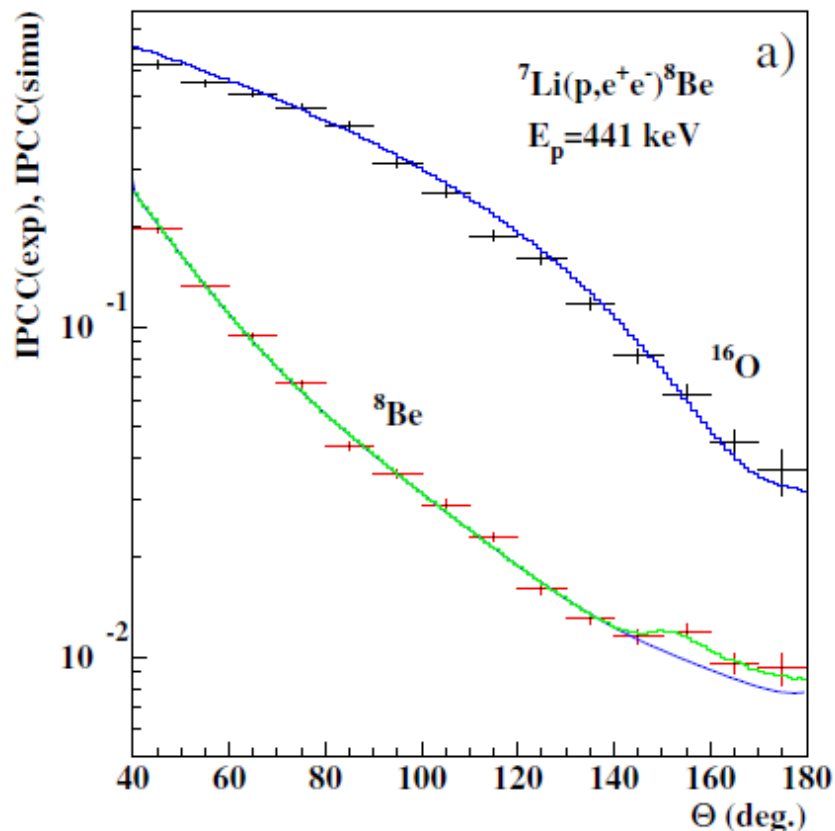
$$M_X = 16.7 \pm 0.35 \pm 0.5 \text{ МэВ}$$

$$\frac{Br({}_4^8\text{Be}^* \rightarrow {}_4^8\text{Be} + X) \cdot Br(X \rightarrow e^+e^-)}{Br({}_4^8\text{Be}^* \rightarrow {}_4^8\text{Be} + \gamma)} \approx 5.8 \cdot 10^{-6}$$

# РЕЗУЛЬТАТЫ 2016 года с модернизированным детектором



Воспроизведен результат для уровня 18.15 МэВ и проявился тот же эффект при распаде уровня 17.64 МэВ

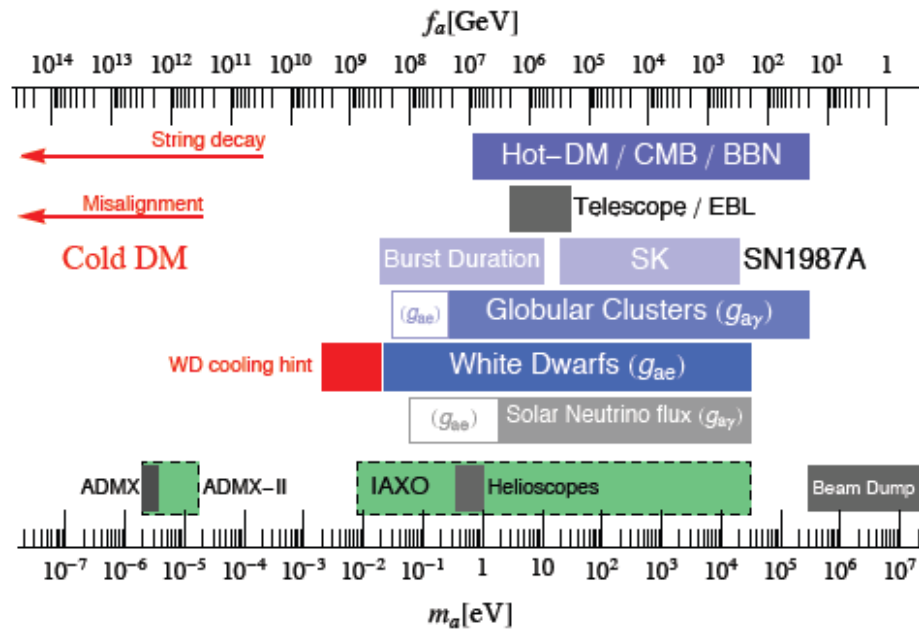


С учетом двух переходов масса сдвигается ближе к 17 МэВ  
Обнаруженный эффект до настоящего времени не удалось  
объяснить в рамках стандартной ядерной физики

# Выход за рамки стандартной модели – новый легкий БОЗОН с массой 17 МэВ

- **не скаляр**
- **Псевдоскаляр, аксиальный вектор и вектор не запрещены симметриями.**

**Псевдоскаляр ограничен экспериментально поисками АКСИОНА.**



- **Аксиальный вектор – трудно интерпретировать - сложность ядерных расчетов**

## ВЕКТОР (Feng et al)

$$L_{BSM} \propto -\frac{1}{4} X_{\mu\rho} X^{\mu\rho} + \frac{1}{2} m_X^2 X_\mu X^\mu - X_\mu J^\mu$$

Изоскалярный переход. Взаимодействие с векторным током

$$J_\mu = \frac{1}{2} e \varepsilon \bar{N} \gamma_\mu N + \dots \quad \varepsilon = \varepsilon_p + \varepsilon_n$$

$$\frac{Br({}^8_4\text{Be}^* \rightarrow {}^8_4\text{Be} + X) \cdot Br(X \rightarrow e^+ e^-)}{Br({}^8_4\text{Be}^* \rightarrow {}^8_4\text{Be} + \gamma)} \approx 5.8 \cdot 10^{-6}$$

$$Br(X \rightarrow e^+ e^-) = 1$$

Пренебрегаем  $\nu$  и  $\gamma$



В первом приближении ядерный матричный элемент сокращается в отношении ширин

$$\frac{\Gamma(Be^* \rightarrow BeX)}{\Gamma(Be^* \rightarrow Be\gamma)} \approx (\varepsilon_p + \varepsilon_n)^2 \left| \frac{p_X}{p_\gamma} \right|^3 \approx 5.8 \cdot 10^{-6}$$

Заряд в единицах  $e$   $\varepsilon \approx |\varepsilon_p + \varepsilon_n| \approx 0.011$

Связь  $X$  с электронами

$$\Gamma(X \rightarrow e^+e^-) \approx \varepsilon_e^2 \alpha \frac{m_X^2 + 2m_e^2}{3m_X} \sqrt{1 - \frac{4m_e^2}{m_X^2}}$$

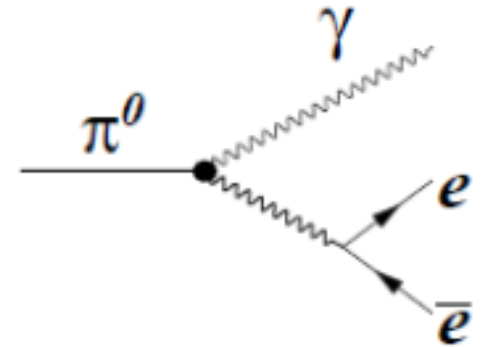
Распад в детекторе на длине несколько сантиметров.  
Для описания наблюдаемого эффекта

$$|\varepsilon_e| \geq (1 \div 2) \cdot 10^{-5}$$

# ТЕМНЫЙ ФОТОН

- Существующие ограничения:

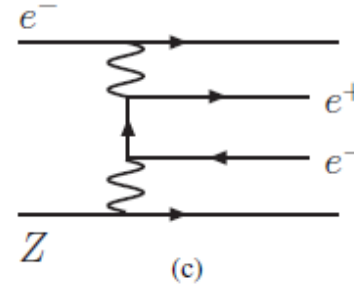
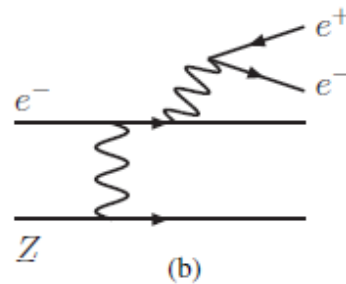
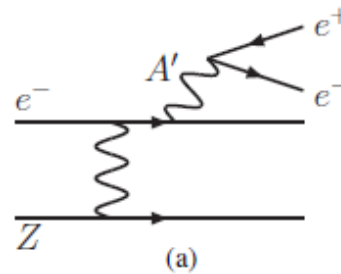
- NA48/2 –распад  $\pi^0 \rightarrow \gamma A \rightarrow \gamma e^+ e^-$



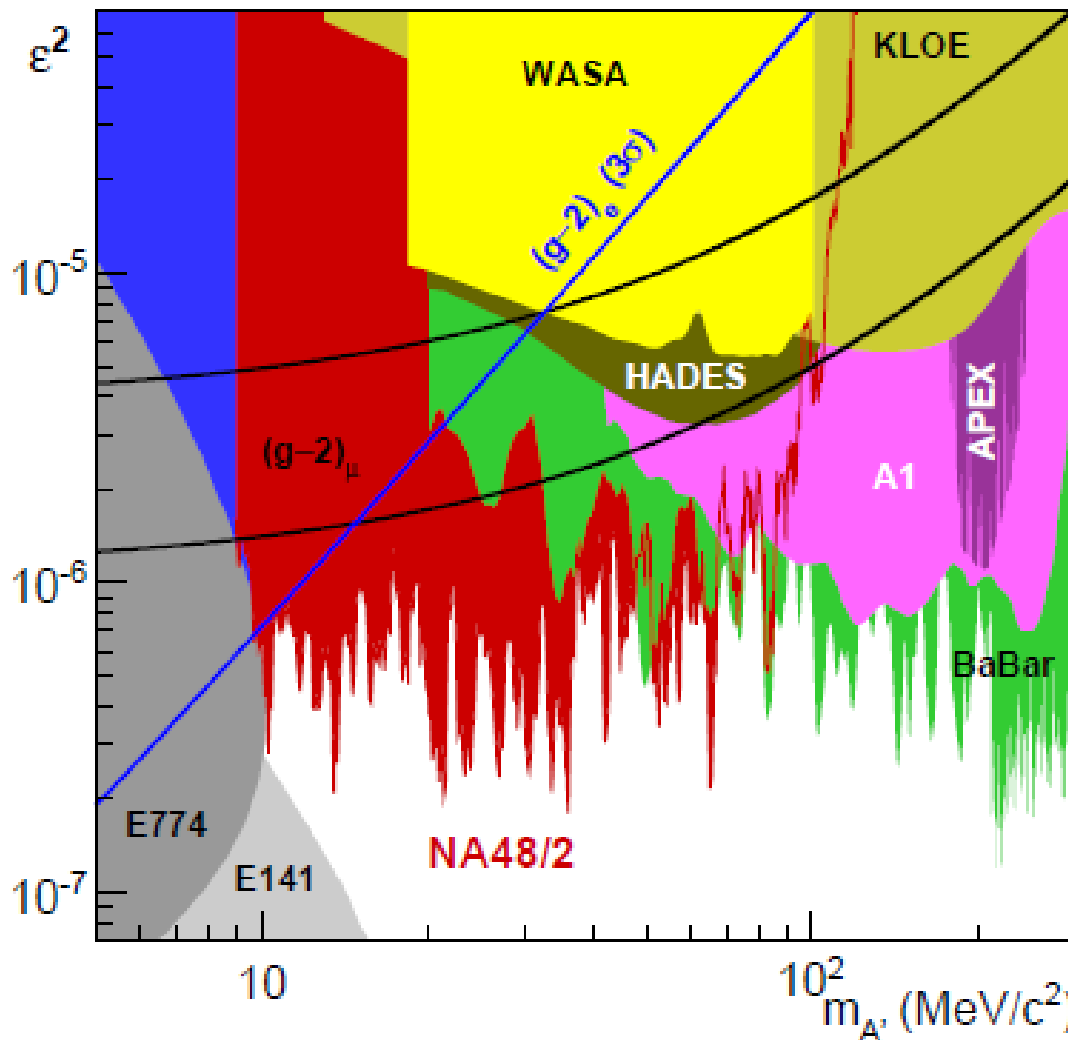
- Рассеяние электронов

(beam dump & pair spectrometer)

E141, A1, APEX



Аннигиляция: BABAR, KLOE



темный фотон с константой взаимодействия

$$\epsilon = |\epsilon_p + \epsilon_n| \approx 0.011$$

исключен экспериментом NA48

В более общем случае легкого (масса 17 МэВ) калибровочного векторного бозона, не связанного с электромагнитными зарядами, можно оценить константы связи из Be и из NA48 через аномалию. Тогда

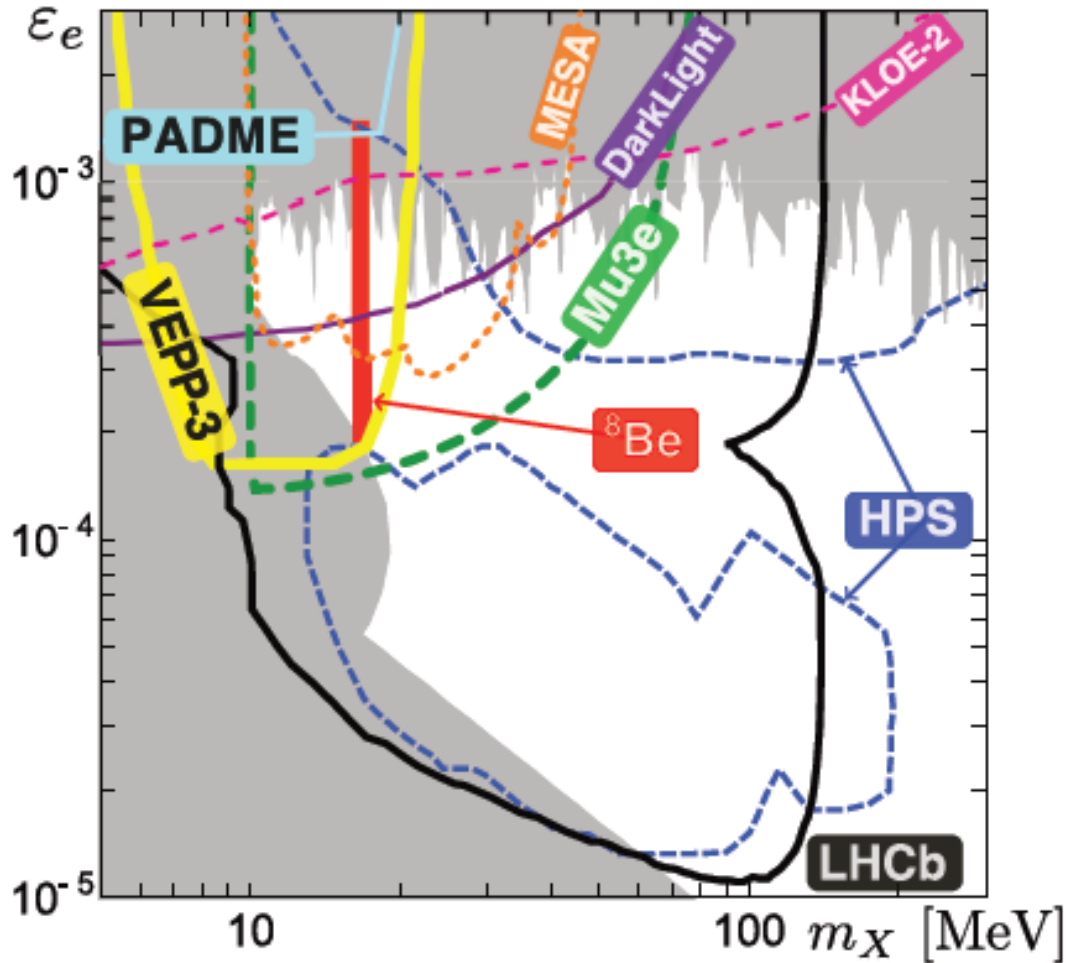
$$\varepsilon_u + \varepsilon_d \approx 0.004$$

$$2\varepsilon_u + \varepsilon_d \approx 0.0008$$

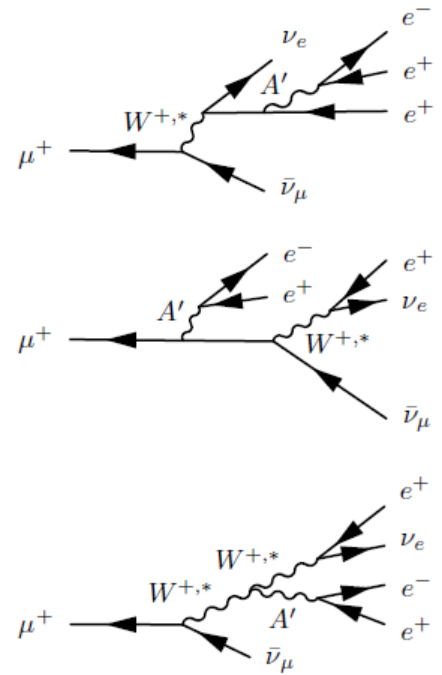
$$\varepsilon_p \approx 0.0008 \quad \varepsilon_n \approx 0.01$$

**Protophobic vector boson (Feng et al)**

# ПЕРСПЕКТИВЫ



- MESA:  $eA \rightarrow eA2e$  - 2020
- VEPP3:  $e+e^- \rightarrow \text{gamma } A'$
- Darklight:  $ep \rightarrow epe+e^-$  2020
- HPS :  $eA \rightarrow eAe+e^-$  2020
- MU3e:  $\mu \rightarrow 3e$  2019-2020



LHCb :  $D(2007) \rightarrow De+e^-$   
2021-2023

- Если возможность существования бозона с массой 17 МэВ в любом варианте теории будет исключена



экспериментально, как объяснить результат АТОМКИ?

- Поскольку  $6.8\sigma$  аргумент серьезный, либо необходим аналогичный эксперимент, либо указания на ошибки в эксперименте АТОМКИ